

01;03

## Эволюция формы поверхности деформированного в начальный момент времени пузырька в вязкой жидкости

© А.Н. Жаров, А.И. Григорьев, И.Г. Жарова

Ярославский государственный университет им. П.Г. Демидова,  
150000 Ярославль, Россия  
e-mail: grig@uniyar.ac.ru

(Поступило в Редакцию 4 мая 2005 г.)

Найдено решение начальной краевой задачи о расчете формы заряженного пузырька в вязкой несжимаемой диэлектрической жидкости как функции времени в линейном приближении по амплитуде исходной деформации. Рассмотрены как центрально симметричные пульсации, так и осцилляции формы при неизменном объеме. Показано, что форма пузырька, а также поля скоростей и давлений жидкости в его окрестности как функции времени, представляются конечными суммами по номерам изначально возбужденных мод и могут быть записаны в виде двух слагаемых, первое из которых — сумма по корням дисперсионного соотношения, а второе представляется несобственным интегралом. В асимптотиках малой и большой вязкостей соответствующие аналитические выражения принимают простые формы, не содержащие интегралов. Выяснилось, что зависимость от вязкости жидкости величины декремента затухания поверхностных осцилляций пузырька немонотонна как для радиальных пульсаций, а различна в асимптотиках малых и больших вязкостей. Частоты радиальных пульсаций и поверхностных осцилляций пузырька при варьировании вязкости жидкости изменяются монотонно.

PACS: 47.55.dd

1. Микропузырьки в жидкости играют определяющую роль в большом количестве физически и технически значимых процессов от сонолюминисценции, электрофлотации и электроразряда в жидкостях до термоядерных реакций под действием высоких температур и давлений, развивающихся при кавитационном схлопывании пузырьков [1], а потому им посвящено много исследований, проведенных как в линейной [1–9], так и в нелинейной [10–16] постановках. Но, несмотря на обилие теоретических и экспериментальных работ, посвященных пузырькам в жидкостях, многие аспекты закономерностей реализации их осцилляций остались не выясненными. Так, все выполненные к настоящему времени линейные анализы ограничивались выводом и исследованием дисперсионного уравнения поверхностных осцилляций или качественным анализом фазовых портретов радиальных пульсаций пузырька. Все проведенные нелинейные аналитические исследования осцилляций пузырька выполнены лишь в приближении идеальной жидкости. До сих пор не решена задача о расчете нелинейных осцилляций пузырьков в вязкой жидкости с учетом как радиальных пульсаций, происходящих с изменением объема, так и поверхностных осцилляций формы пузырька при постоянном объеме. Имея в виду необходимость выполнения подобного исследования, в настоящей работе приведем первый этап решения обсуждаемой задачи, а именно: решение в линейном по амплитуде исходной деформации приближении начальной краевой задачи о расчете как радиальных пульсаций, так и поверхностных осцилляций пузырька. Необходимость в последовательном раздельном рассмотрении линейных и нелинейных осцилляций пузырька в вязкой жидкости связана с большой математической громоздкостью проблемы. Предлагаемое исследование стало возможным

после решения задачи о расчете нелинейных осцилляций заряженной капли вязкой жидкости [17,18], поскольку в существенной степени использует те же математические подходы и приемы.

2. Рассмотрим сферический пузырек радиуса  $r_0$ , несущий электрический заряд  $Q$ , образовавшийся в жидкости с диэлектрической проницаемостью  $\varepsilon_d$ , плотностью  $\rho$ , кинематической вязкостью  $\nu$ , коэффициентом поверхностного натяжения  $\sigma$ . Будем считать, что в пузырьке находятся газ с начальным давлением  $p_g^{(0)}$ , подчиняющийся политропическому закону с показателем политропы  $\gamma$  и насыщенный пар жидкости с давлением  $p_v$ .

При изменении давления жидкости  $p^{(0)}$  заряда на пузырьке  $Q$ , давления насыщенного пара  $p_v$  или каких-либо других характеристик жидкости или газа граница раздела сред будет двигаться под действием суммарного давления

$$p(r) = -p^{(0)} + p_v + p_g^{(0)} \left(\frac{r_0}{r}\right)^{3\gamma} + \frac{Q^2}{8\pi\varepsilon_d r^4} - \frac{2\sigma}{r}, \quad (1)$$

где  $r$  — текущий радиус пузырька. При  $p(r) > 0$  пузырек расширяется, при  $p(r) < 0$  сжимается, если  $p(r) = 0$  находится в равновесии. Из выражения (1) видно, что уравнение  $p(r) = 0$  может иметь различное количество корней: один, два, ни одного [4]. Стационарные состояния сферического пузырька в нижеследующем изложении будем обозначать  $r = a$ .

Рассмотрим капиллярные осцилляции пузырька, находящегося в одном из равновесных состояний при  $r = a$ . Поле скоростей течения жидкости в окрестности пузырька обозначим  $U(r, \vartheta, t)$ , поле давлений —  $p(r, \vartheta, t)$ , потенциалы электрического поля в окрестности пузырька и на его поверхности обозначим  $\phi(r, \vartheta, t)$  и  $\phi_S(t)$

соответственно. Уравнение поверхности пузырька, совершающего центрально симметричные пульсации, так, что его радиус есть функция времени  $R = R(t)$ , и кроме того совершающего осесимметричные осцилляции, связанные с деформацией в начальный момент времени сферической поверхности границы раздела на  $\xi(\vartheta, t)$ , в любой последующий момент времени  $t$  запишем в сферической системе координат  $r, \vartheta$  в виде

$$F(r, \vartheta, t) = r - a - R(t) - \xi(\vartheta, t) = 0 \quad (2)$$

с начальным условием

$$t = 0: \quad R = \varepsilon h_0 \cdot P_0(\mu);$$

$$\xi = \varepsilon \sum_{m \in \Omega} h_m \cdot P_m(\mu); \quad \mu = \cos(\vartheta), \quad (3)$$

где  $\varepsilon$  — малый параметр, характеризующий амплитуду начальной деформации;  $P_m(\mu)$  — полином Лежандра;  $\Omega$  — множество индексов изначально возбужденных мод;  $h_0$  и  $h_m$  — константы, учитывающие парциальный вклад  $m$ -й моды в формирование начальной формы пузырька, такие, что  $h_0 + \sum_{m \in \Omega} h_m = O(a)$ ; индекс „0“ соответствует центрально симметричным пульсациям.

Математическая формулировка задачи о расчете капиллярных колебаний заряженного пузырька, форма которого определяется (2)–(3), имеет вид

$$\partial_t \mathbf{U} + (\mathbf{U} \cdot \nabla) \mathbf{U} = -\frac{1}{\rho} \text{grad } p + \nu \Delta \mathbf{U}; \quad \text{div } \mathbf{U} = 0; \quad \Delta \phi = 0;$$

$$t = 0: \quad \mathbf{U} = 0; \quad r \rightarrow \infty: \quad \mathbf{U} < \infty; \quad \nabla \phi \rightarrow 0;$$

$$r = a + R(t) + \xi(\vartheta, t): \quad \phi = \phi_S(t);$$

$$\int_S \mathbf{n} \cdot \nabla \phi \, dS = -4\pi Q;$$

$$S = \{r, \vartheta, \phi | : r = a + R + \xi; 0 \leq \vartheta \leq \pi; 0 \leq \phi \leq 2\pi\};$$

$$\partial_t F + (\mathbf{U} \cdot \nabla) F = 0; \quad \boldsymbol{\tau} \cdot (\mathbf{n} \cdot \nabla) \mathbf{U} + \mathbf{n} \cdot (\boldsymbol{\tau} \cdot \nabla) \mathbf{U} = 0;$$

$$-p + 2\rho \nu \mathbf{n} \cdot (\mathbf{n} \cdot \nabla) \mathbf{U} + p_V + p_{g0} \left(\frac{V_0}{V}\right)^{\gamma}$$

$$+ \frac{1}{8\pi \varepsilon_d} (\nabla \phi)^2 - \sigma (\nabla \cdot \mathbf{n}) = 0, \quad (4)$$

где символ  $\partial_t$  означает частную производную по переменной  $t$ ;  $\mathbf{n}$  и  $\boldsymbol{\tau}$  — единичные вектора нормали и касательной к поверхности пузырька;  $V_0$  и  $V$  — начальный и текущий объем пузырька.

3. Для отыскания решения выписанной нелинейной системы в рамках метода прямого разложения все искомые величины задачи представим в виде асимптотических разложений по малому параметру  $\varepsilon$

$$R(t) = \varepsilon R^{(1)}(t) + O(\varepsilon^2); \quad \xi(\vartheta, t) = \varepsilon \xi^{(1)}(\vartheta, t) + O(\varepsilon^2);$$

$$\mathbf{U}(r, \vartheta, t) = \varepsilon U_r^{(1)}(r, \vartheta, t) \mathbf{e}_r + \varepsilon U_{\vartheta}^{(1)}(r, \vartheta, t) \mathbf{e}_{\vartheta} + O(\varepsilon^2);$$

$$p(r, \vartheta, t) = p^{(0)} + \varepsilon p^{(1)}(r, \vartheta, t) + O(\varepsilon^2);$$

$$\phi(r, \vartheta, t) = \phi^{(0)}(r, t) + \varepsilon \phi^{(1)}(r, \vartheta, t) + O(\varepsilon^2);$$

$$\phi_S(t) = \phi_S^{(0)}(t) + \varepsilon \phi_S^{(1)}(t) + O(\varepsilon^2). \quad (5)$$

3а. Подставляя разложения (5) в систему уравнений (4) и приравнявая коэффициенты при нулевой степени малого параметра, получим систему уравнений нулевого порядка малости

$$\Delta \phi^{(0)} = 0; \quad r \rightarrow +\infty: \quad \nabla \phi^{(0)} \rightarrow 0; \quad \phi^{(0)}(a, t) = \phi_S^{(0)}(t);$$

$$r = a: \quad \int_{-1}^1 a^2 \partial_r \phi^{(0)}(r, t) d(\cos \vartheta) = -2Q;$$

$$-p^{(0)} + p_V + p_g^{(0)} \left(\frac{r_0}{a}\right)^{3\gamma} + \frac{1}{8\pi \varepsilon_d} (\partial_r \phi^{(0)}(r, t))^2 - \frac{2\sigma}{a} = 0. \quad (6)$$

Из (6) найдем

$$\phi^{(0)} = \frac{Q}{r}; \quad \phi_S^{(0)} = \frac{Q}{a};$$

$$p(a) = -p^{(0)} + p_V + p_g^{(0)} \left(\frac{r_0}{a}\right)^{3\gamma} + \frac{Q^2}{8\pi \varepsilon_d a^4} - \frac{2\sigma}{a} = 0. \quad (7)$$

3б. Собирая компоненты системы (4) после подстановки в нее разложений (5), содержащие  $\varepsilon$  в первой степени, получим задачу первого порядка малости

$$\partial_t U_r^{(1)} = -\frac{1}{\rho} \partial_r p^{(1)} + \nu \left( \frac{1}{r^2} \partial_{\vartheta\vartheta} U_r^{(1)} + \frac{\text{ctg}(\vartheta)}{r^2} \partial_{\vartheta} U_r^{(1)} \right.$$

$$\left. - \frac{1}{r} \partial_{r\vartheta} U_{\vartheta}^{(1)} - \frac{\text{ctg}(\vartheta)}{r} \partial_r U_{\vartheta}^{(1)} - \frac{1}{r^2} \partial_{\vartheta} U_{\vartheta}^{(1)} - \frac{\text{ctg}(\vartheta)}{r^2} U_{\vartheta}^{(1)} \right);$$

$$\partial_t U_{\vartheta}^{(1)} = -\frac{1}{\rho} \frac{1}{r} \partial_{\vartheta} p^{(1)} + \nu \left( \partial_{rr} U_{\vartheta}^{(1)} + \frac{2}{r} \partial_r U_{\vartheta}^{(1)} - \frac{1}{r} \partial_{r\vartheta} U_r^{(1)} \right);$$

$$\partial_r U_r^{(1)} + \frac{2}{r} U_r^{(1)} + \frac{1}{r} \partial_{\vartheta} U_{\vartheta}^{(1)} + \frac{\text{ctg}(\vartheta)}{r} U_{\vartheta}^{(1)} = 0;$$

$$t = 0: \quad R^{(1)} = h_0 P_0(\mu); \quad \xi^{(1)} = \sum_{m \in \Omega} h_m \cdot P_m(\mu); \quad \mathbf{U}^{(1)} = 0;$$

$$r \rightarrow +\infty: \quad \mathbf{U}^{(1)} < \infty; \quad \Delta \phi^{(1)} = 0; \quad \nabla \phi^{(1)} \rightarrow 0;$$

$$r = a: \quad \phi^{(1)} + (R^{(1)} + \xi^{(1)}) \partial_r \phi^{(0)} = \phi_S^{(1)}(t);$$

$$\int_{-1}^1 (a \partial_r \phi^{(1)} + (R^{(1)} + \xi^{(1)}) (a \partial_{rr} \phi^{(0)} + 2\partial_r \phi^{(0)})) d(\cos \vartheta) = 0;$$

$$\partial_t R^{(1)} + \partial_t \xi^{(1)} = U_r^{(1)}; \quad \partial_r U_{\vartheta}^{(1)} + \frac{1}{r} \partial_{\vartheta} U_r^{(1)} - \frac{1}{r} U_{\vartheta}^{(1)} = 0;$$

$$-p^{(1)} + 2\rho \nu \partial_r U_r^{(1)} - p_g^{(0)} \left(\frac{r_0}{a}\right)^{3\gamma} \frac{3\gamma}{a} R^{(1)} + \frac{1}{4\pi \varepsilon_d} \partial_r \phi^{(0)}$$

$$\times (\partial_r \phi^{(1)} + (R^{(1)} + \xi^{(1)}) \partial_{rr} \phi^{(0)}) + \frac{2\sigma}{a^2} R^{(1)}$$

$$+ \frac{\sigma}{a^2} (2 + \Delta_{\Omega}) \xi^{(1)} = 0;$$

$$\Delta_{\Omega} \equiv \frac{1}{\sin \vartheta} \frac{\partial}{\partial \vartheta} \left( \sin \vartheta \frac{\partial}{\partial \vartheta} \right). \quad (8)$$

В системе (8) выполним преобразование Лапласа по времени

$$F(S) = \int_0^{+\infty} f(t) \exp(-St) dt;$$

$$f \equiv \{U_r^{(1)}, U_\vartheta^{(1)}, R^{(1)}, \xi^{(1)}, p^{(1)}, \phi^{(1)}, \phi_S^{(1)}\}.$$

Изображения Лапласа разложим в ряды по полиномам Лежандра

$$U_r^{(1)}(r, \vartheta, S) = U_{r0}^{(1)}(r, S)P_0(\mu) + \sum_{n=1}^{+\infty} U_{rn}^{(1)}(r, S)P_n(\mu);$$

$$U_\vartheta^{(1)}(r, \vartheta, S) = \sum_{n=1}^{+\infty} U_{\vartheta n}^{(1)}(r, S)P_n(\mu);$$

$$\xi^{(1)}(\vartheta, S) = \sum_{n=1}^{+\infty} \xi_n^{(1)}(S)P_n(\mu);$$

$$\phi^{(1)}(r, \vartheta, S) = \phi_0^{(1)}(r, S)P_0(\mu) + \sum_{n=1}^{+\infty} \phi_n^{(1)}(r, S)P_n(\mu);$$

$$p^{(1)}(r, \vartheta, S) = p_0^{(1)}(r, S)P_0(\mu) + \sum_{n=0}^{+\infty} p_n^{(1)}(r, S)P_n(\mu). \quad (9)$$

Зс. Подставляя разложения (9) в систему (8) и используя свойство ортогональности полиномов Лежандра, выделим две системы уравнений, описывающие соответственно радиальные и поверхностные колебания пузырька.

Для описания радиальных пульсаций пузырька получим

$$SU_{r0}^{(1)}(r, S) = -\frac{1}{\rho} \partial_r p_0^{(1)}(r, S);$$

$$\partial_r U_{r0}^{(1)}(r, S) + \frac{2}{r} U_{r0}^{(1)}(r, S) = 0;$$

$$r \rightarrow \infty: U_{r0}^{(1)}(r, S) < \infty; \partial_{rr} \phi_0^{(1)}(r, S) + \frac{2}{r} \partial_r \phi_0^{(1)}(r, S) = 0;$$

$$\partial_r \phi_0^{(1)}(r, S) \rightarrow 0; \quad \phi_0^{(1)}(r, S) \rightarrow 0;$$

$$r = a: \int_{-1}^1 (a \partial_r \phi_0^{(1)}(r, S) + R^{(1)}(S)(a \partial_{rr} \phi_0^{(1)} + 2 \partial_r \phi_0^{(1)}))$$

$$\times P_0(\mu) d(\mu) = 0;$$

$$\phi_0^{(1)}(r, S) + R^{(1)}(S) \partial_r \phi_0^{(1)} = \phi_S^{(1)}(S); \quad SR^{(1)}(S) - h_0 = U_{r0}^{(1)};$$

$$-p_0^{(1)}(r, S) + 2\rho v \partial_r U_{r0}^{(1)}(r, S) - p_g^{(0)} \left(\frac{r_0}{a}\right)^{3\gamma} \frac{3\gamma}{a} R^{(1)}(S)$$

$$+ \frac{1}{4\pi\epsilon_d} \partial_r \phi_0^{(1)} \left(\partial_r \phi_0^{(1)}(r, S) + R^{(1)}(S) \partial_{rr} \phi_0^{(1)}\right)$$

$$+ \frac{2\sigma}{a^2} R^{(1)}(S) = 0. \quad (10)$$

Решая систему (10) с учетом (7), найдем

$$U_{r0}^{(1)}(r, S) = \frac{A_0(S)}{r^2}; \quad p_0^{(1)}(r, S) = \rho S \frac{A_0(S)}{r};$$

$$\phi_0^{(1)}(r, S) = 0; \quad \phi_S^{(1)}(S) = -\frac{Q^2}{a^2} R^{(1)}(S), \quad (11)$$

где  $A_0(S)$  — константа. Подставим (11) в последние два граничных условия (9) и получим систему уравнений для определения констант  $A_0(S)$  и  $R^{(1)}(S)$

$$SR^{(1)}(S) - h_0 = \frac{A_0(S)}{a^2};$$

$$S \frac{A_0(S)}{a^2} + 4v \frac{A_0(S)}{a^4} + \omega_0^2 R^{(1)}(S) = 0, \quad (12)$$

где  $\omega_0$  — частота радиальных пульсаций пузырька в идеальной жидкости

$$\omega_0^2 = \frac{3\gamma}{\rho a^2} p_g^{(0)} \left(\frac{r_0}{a}\right)^{3\gamma} - \frac{2\sigma}{\rho a^3} + \frac{Q^2}{2\pi\epsilon_d \rho a^6}.$$

Из системы (12) несложно найти коэффициенты  $A_0(S)$ ,  $R^{(1)}(S)$ :

$$R^{(1)}(S) = h_0 \left(S + \frac{4v}{a^2}\right) \left(S^2 + \frac{4v}{a^2} S + \omega_0^2\right)^{-1};$$

$$A_0(S) = -\omega_0^2 a^2 h_0 \left(S^2 + \frac{4v}{a^2} S + \omega_0^2\right)^{-1}.$$

Подставляя найденные значения  $A_0(S)$  и  $R^{(1)}(S)$  в (11), найдем

$$U_{r0}^{(1)}(r, S) = -\omega_0^2 h_0 \frac{a^2}{r^2} \left(S^2 + \frac{4v}{a^2} S + \omega_0^2\right)^{-1};$$

$$p_0^{(1)}(r, S) = -\rho S a \omega_0^2 h_0 \frac{a}{r} \left(S^2 + \frac{4v}{a^2} S + \omega_0^2\right)^{-1}.$$

Выполняя обратное преобразование Лапласа, получим окончательные выражения для временной зависимости радиуса пульсирующего пузырька и связанных с пульсациями поля скоростей течения жидкости и поля давлений

$$R^{(1)}(t) = h_0 \left(\cos(\psi_0 t) + 2 \frac{v}{a^2} \frac{\sin(\psi_0 t)}{\psi_0}\right) \exp\left(-2 \frac{v}{a^2} t\right);$$

$$\psi_0 = \sqrt{\omega_0^2 - 4 \frac{v^2}{a^4}};$$

$$U_{r0}^{(1)}(r, t) = -\omega_0^2 h_0 \frac{a^2}{r^2} \frac{\sin(\psi_0 t)}{\psi_0} \exp\left(-2 \frac{v}{a^2} t\right);$$

$$p_0^{(1)}(r, t) = -\rho a \omega_0^2 h_0 \frac{a}{r} \left(\cos(\psi_0 t) - 2 \frac{v}{a^2} \frac{\sin(\psi_0 t)}{\psi_0}\right)$$

$$\times \exp\left(-2 \frac{v}{a^2} t\right). \quad (13)$$

$\psi_0$  имеет смысл частоты радиальных пульсаций пузырька в вязкой жидкости.

3д. Для описания поверхностных осцилляций пузырька при неизменном объеме будем иметь систему

$$SU_{rn}^{(1)}(r, S) = -\frac{1}{\rho} \partial_r p_n^{(1)}(r, S) + \nu n(n+1) \times \left( \frac{1}{r} \partial_r U_{\partial n}^{(1)}(r, S) + \frac{1}{r^2} U_{\partial n}^{(1)}(r, S) - \frac{1}{r^2} U_{rn}^{(1)}(r, S) \right); \quad (14)$$

$$SU_{\partial n}^{(1)}(r, S) = -\frac{1}{\rho r} p_n^{(1)}(r, S) + \nu \left( \partial_{rr} U_{\partial n}^{(1)}(r, S) + \frac{2}{r} \partial_r U_{\partial n}^{(1)}(r, S) - \frac{1}{r} \partial_r U_{rn}^{(1)}(r, S) \right); \quad (15)$$

$$\partial_r U_{rn}^{(1)}(r, S) + \frac{2}{r} U_{rn}^{(1)}(r, S) - \frac{n(n+1)}{r} U_{\partial n}^{(1)}(r, S) = 0; \quad (16)$$

$$r \rightarrow +\infty: U_{rn}^{(1)}(r, S) < \infty; U_{\partial n}^{(1)}(r, S) < \infty; \quad (17)$$

$$\partial_{rr} \phi_n^{(1)}(r, S) + \frac{2}{r} \partial_r \phi_n^{(1)}(r, S) - n(n+1) \phi_n^{(1)}(r, S) = 0; \quad (18)$$

$$\partial_r \phi_n^{(1)}(r, S) \rightarrow 0; \phi_n^{(1)}(r, S) \rightarrow 0; \quad (19)$$

$$r = a: \phi_n^{(1)}(r, S) + \xi_n^{(1)}(S) \partial_r \phi^{(0)} = 0; \quad (20)$$

$$S \xi_n^{(1)}(S) - h_n = U_{rn}^{(1)}; \quad (21)$$

$$\partial_r U_{\partial n}^{(1)}(r, S) + \frac{1}{r} U_{rn}^{(1)}(r, S) - \frac{1}{r} U_{\partial n}^{(1)}(r, S) = 0; \quad (22)$$

$$-p_n^{(1)}(r, S) + 2\rho\nu \partial_r U_{rn}^{(1)}(r, S) + \frac{1}{4\pi\epsilon_d} \partial_r \phi^{(0)}(\partial_r \phi_n^{(1)}(r, S) + \xi_n^{(1)}(S) \partial_{rr} \phi^{(0)}) - \frac{\sigma}{a^2} (n+2)(n-1) \xi_n^{(1)}(S) = 0. \quad (23)$$

Из уравнений (18)–(20) для образа Лапласа поправки первого порядка к электростатическому потенциалу в окрестности заряженного пузырька получим

$$\phi_n^{(1)}(r, S) = \frac{Q}{a^2} \left( \frac{a}{r} \right)^{n+1} \xi_n^{(1)}(S). \quad (24)$$

Для того чтобы найти поля скоростей и давления в окрестности пузырька из уравнений (15) и (16) выразим  $p_n^{(1)}(r, S)$  и  $U_{\partial n}^{(1)}(r, S)$ :

$$p_n^{(1)}(r, S) = -S\rho r U_{\partial n}^{(1)}(r, S) + \rho\nu r \left( \partial_{rr} U_{\partial n}^{(1)}(r, S) + \frac{2}{r} \partial_r U_{\partial n}^{(1)}(r, S) - \frac{1}{r} \partial_r U_{rn}^{(1)}(r, S) \right), \quad (25)$$

$$U_{\partial n}^{(1)}(r, S) = \frac{r}{n(n+1)} \left( \partial_r U_{rn}^{(1)}(r, S) + \frac{2}{r} U_{rn}^{(1)}(r, S) \right). \quad (26)$$

Соотношения (25) и (26) подставим в (14), после чего оно примет вид

$$\left( \partial_{rr} + \frac{4}{r} \partial_r - \frac{(n-1)(n+2)}{r^2} \right) \left( \partial_{rr} + \frac{4}{r} \partial_r - \frac{(n-1)(n+2)}{r^2} - \frac{S}{\nu} \right) U_{rn}^{(1)}(r, S) = 0.$$

Решение этого уравнения, удовлетворяющее условиям (17), легко выписывается:

$$U_{rn}^{(1)}(r, S) = \frac{A_n(S)}{r^{n+2}} + B_n(S) \frac{1}{r} k_n(\eta r); \quad \eta = \sqrt{\frac{S}{\nu}}, \quad (27)$$

где  $A_n(S)$ ,  $B_n(S)$  — произвольные постоянные;  $k_n(z)$  — модифицированная сферическая функция Бесселя третьего рода порядка  $n$ .

Подставляя (27) в (25) и (26) и используя рекуррентное соотношение

$$\partial_z k_n(z) = -\frac{n+1}{z} k_n(z) - k_{n-1}(z) \quad (28)$$

найдем образы Лапласа для поправок первого порядка к полю скоростей течения жидкости в окрестности пузырька  $U_{\partial n}^{(1)}(r, S)$ , связанное с его поверхностными осцилляциями, и к полю давлений в жидкости  $p_n^{(1)}(r, S)$

$$U_{\partial n}^{(1)}(r, S) = -\frac{1}{n(n+1)} \left( \frac{nA_n(S)}{r^{n+2}} + \frac{B_n(S)}{r} (nk_n(\eta r) + r\eta k_{n-1}(\eta r)) \right); \quad (29)$$

$$p_n^{(1)}(r, S) = \frac{A_n(S)S\rho}{(n+1)r^{n+1}}. \quad (30)$$

Подставляя выражения (7), (24), (27), (29)–(30) в граничные условия (21)–(23), используя рекуррентные соотношения (28) и

$$\partial_z k_n(z) = \frac{n}{z} k_n(z) - k_{n+1}(z)$$

получим систему трех уравнений относительно величин  $A_n(S)$ ,  $B_n(S)$ ,  $\xi_n^{(1)}(S)$ :

$$S \xi_n^{(1)}(S) - h_n = \frac{A_n(S)}{a^{n+2}} + \frac{B_n(S)}{a} k_n(\eta a);$$

$$2n(n+2) \frac{A_n(S)}{a^{n+2}} + \frac{B_n(S)}{a} \left( \left( 2n(n+2) + a^2 \frac{S}{\nu} \right) k_n(\eta r) + 2a \eta k_{n-1}(\eta r) \right) = 0;$$

$$\left( S + \frac{2\nu}{a^2} (n+1)(n+2) \right) \frac{A_n(S)}{a^{n+2}} + \omega_n^2 \xi_n^{(1)}(S) + \frac{2\nu}{a^2} \frac{B_n(S)}{a} (n+1) \left( (n+2) k_n(\eta a) + a\eta k_{n-1}(\eta a) \right) = 0,$$

где  $\omega_n$  имеет смысл частоты поверхностных осцилляций пузырька в идеальной жидкости:

$$\omega_n^2 = \frac{\sigma}{\rho a^3} (n+1)(n-1) \left( n+2 - \frac{Q^2}{4\pi\sigma\epsilon_d a^3} \right).$$

Разрешив данную систему и подставив выражения для коэффициентов  $A_n(S)$ ,  $B_n(S)$  в (27), (29)–(30), несложно

найти окончательный вид изображений Лапласа для отклонения формы поверхности пузырька от равновесной сферической и для поправок первого порядка малости к полю скоростей течения жидкости в окрестности пузырька и давлений в ней:

$$\xi_n^{(1)}(S) = \frac{h_n}{D_n(S)} \left( S + 2(n+2)(2n+1) \frac{v}{a^2} - 4n(n+2)^2 \frac{\sqrt{v^3}}{a^3 \sqrt{S}} \alpha_n \cdot \chi_n \right);$$

$$\alpha_n \equiv \frac{k_{n-1}(\eta a)}{k_n(\eta a)};$$

$$U_{r_n}^{(1)}(r, S) = - \left( 1 + 2n(n+2) \frac{v}{a^2 S} \chi_n \right) \left( \frac{a}{r} \right)^{n+2} \frac{\omega_n^2 h_n}{D_n(S)}$$

$$+ 2n(n+2) \frac{v}{a^2 S} \chi_n \frac{\omega_n^2 h_n}{D_n(S)} \frac{a}{r} \frac{k_n(\eta r)}{k_n(\eta a)};$$

$$\chi_n \equiv \left( 1 + \frac{2}{\eta a} \alpha_n \right)^{-1};$$

$$U_{\partial n}^{(1)}(r, S) = \frac{1}{n+1} \left\{ \left( 1 + 2n(n+2) \frac{v}{a^2 S} \chi_n \right) \left( \frac{a}{r} \right)^{n+2} - 2(n+2) \frac{v}{a^2 S} \chi_n \frac{a}{r} \left( n \frac{k_n(\eta r)}{k_n(\eta a)} + r \cdot \eta \cdot \alpha_n \right) \right\} \frac{\omega_n^2 h_n}{D_n(S)};$$

$$p_n^{(1)}(r, S) = - \frac{\rho a S}{n+1} \left( 1 + 2n(n+2) \frac{v}{a^2 S} \chi_n \right) \frac{\omega_n^2 h_n}{D_n(S)} \left( \frac{a}{r} \right)^{n+1};$$

$$D_n(S) \equiv S^2 + \omega_n^2 + 2(n+2)(2n+1) \frac{Sv}{a^2} - 4n(n+2)^2 \frac{\sqrt{v^3}}{a^3} \sqrt{S} \cdot \alpha_n \cdot \chi_n.$$

Функции (31) являются аналитическими в комплексной плоскости с разрезом вдоль отрицательной части действительной оси и имеют две особые точки, которые являются простыми полюсами и характеризуются условиями  $D_n(S) = 0$ . Поэтому для поиска оригиналов выберем контур типа Ханкеля (рис. 1) и, используя теорему о вычетах, запишем

$$f(t) = \frac{1}{2\pi i} \int_{\gamma-i\infty}^{\gamma+i\infty} F(S) \exp(St) dS = \sum_{m=1}^2 \operatorname{res}_{S=S^{(m)}} (F(S) \exp(St)) - \frac{1}{2\pi i} \int_{BCDEFA} F(S) \exp(St) dS.$$

При вычислении последнего интеграла учтем, что интегралы вдоль контуров  $BC$ ,  $FA$  равны нулю при стремлении радиусов данных окружностей к бесконечности. Интеграл вдоль контура  $DE$  так же равен нулю при стремлении радиуса окружности к нулю. При

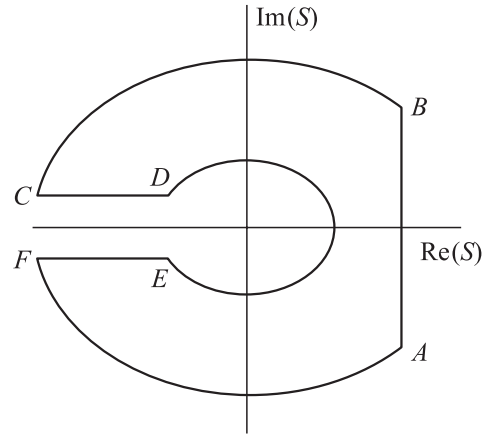


Рис. 1. Контур интегрирования.

вычислении интегралов вдоль прямых  $CD$  и  $EF$  их уравнение запишем в виде  $S = -\tau^2$  и учтем что на верхнем берегу  $CD$  —  $\sqrt{S} = i\tau$ , а на нижнем  $EF$  —  $\sqrt{S} = -i\tau$ . Стягивая  $CD$  и  $EF$  к отрицательной части вещественной оси, окончательно найдем искомые временные зависимости:

$$\xi_n^{(1)}(t) = \sum_{m=1}^2 a_{\xi 1}(S_n^{(m)}) \exp(S_n^{(m)} t) + \int_0^{+\infty} a_{\xi 2}(\tau) \exp(-\tau^2 t) d\tau;$$

$$U_{r_n}^{(1)}(r, t) = \sum_{m=1}^2 \left( a_1(S_n^{(m)}) \left( \frac{a}{r} \right)^{n+2} + b_1(S_n^{(m)}) \frac{1}{r} \frac{k_n(\eta r)}{k_n(\eta a)} \right) \times \exp(S_n^{(m)} t) + \int_0^{+\infty} \left( a_2(\tau) \left( \frac{a}{r} \right)^{n+2} + \frac{b_2^{(+)}(\tau)}{r} \lambda_n^{(+)}(r) - \frac{b_2^{(-)}(\tau)}{r} \lambda_n^{(-)}(r) \right) \exp(-\tau^2 t) d\tau;$$

$$p_n^{(1)} = \sum_{m=1}^2 \frac{\rho a S_n^{(m)}}{n+1} a_1(S_n^{(m)}) \left( \frac{a}{r} \right)^{n+1} \exp(S_n^{(m)} t) - \int_0^{+\infty} \frac{\rho a \tau^2}{n+1} a_2(\tau) \left( \frac{a}{r} \right)^{n+1} \exp(-\tau^2 t) d\tau;$$

$$a_{\xi 1}(S) = \left( S + 2(n+2)(2n+1) \frac{v}{a^2} - 4n(n+2)^2 \frac{\sqrt{v^3}}{a^3 \sqrt{S}} \alpha_n \chi_n \right) \times \frac{h_n}{\partial_S D_n(S)};$$

$$a_1(S) = - \left( 1 + 2n(n+2) \frac{v}{a^2 S} \chi_n \right) \frac{\omega_n^2 h_n}{\partial_S D_n(S)};$$

$$b_1(S) = 2n(n+2) \frac{v}{a S} \chi_n \frac{\omega_n^2 h_n}{\partial_S D_n(S)};$$

$$\lambda_n^{(\pm)}(r) \equiv \frac{k_n(\pm i r \tau \sqrt{v^{-1}})}{k_n(\pm i a \tau \sqrt{v^{-1}})};$$

$$\partial_S D_n(S) = 2S + 2(n+2)(2n+1) \frac{v}{a^2} + 2n(n+2)^2 \frac{v}{a^2} \times \left(1 - \frac{1}{\eta a} \alpha_n (2n+1 + (4 + \eta^2 a^2) \frac{1}{\eta a} \alpha_n)\right) \chi_n^2;$$

$$\kappa_n^{(\pm)} \equiv \frac{k_{n-1}(\pm i a \tau \sqrt{v^{-1}})}{k_n(\pm i a \tau \sqrt{v^{-1}})};$$

$$a_{\xi 2}(\tau) = -\frac{4n(n+2)^2}{\Xi_n^{(+)}(\tau)\Xi_n^{(-)}(\tau)} \frac{h_n v^{3/2} \omega_n^2}{\pi a^3} (\kappa_n^{(+)} + \kappa_n^{(-)});$$

$$a_2(\tau) = \frac{4n(n+2)}{\tau^2 \Xi_n^{(+)}(\tau)\Xi_n^{(-)}(\tau)} \frac{h_n v^{3/2} \omega_n^2}{a^3 \pi} \left((n+1)\tau^4 \times \left(1 - 2(n-1)(n+2) \frac{v}{a^2 \tau^2}\right) - \omega_n^2\right) (\kappa_n^{(+)} + \kappa_n^{(-)});$$

$$b_2^{(\pm)} = \frac{2n(n+2)v\omega_n^2}{a\pi i \tau \Xi_n^{(\pm)}(\tau)};$$

$$\Xi_n^{(\pm)}(\tau) = \left(\tau^4 + \omega_n^2 - 2(n+2)(2n+1) \frac{\tau^2 v}{a^2}\right) \times \left(1 \pm \frac{2\sqrt{v}}{i a \tau} \kappa_n^{(\pm)}\right) \pm 4n(n+2)^2 \frac{\tau v^{3/2}}{i a^3} \kappa_n^{(\pm)}.$$

4. Рассмотрим асимптотику маловязкой жидкости. Если вязкость жидкости мала, то аргумент модифицированной сферической функции третьего рода будет большим и для нее можно использовать асимптотическое выражение

$$k_n(z) = \frac{\pi \exp(-z)}{2z} \left(1 + \frac{n(n+1)}{2z} + \frac{(n-1)n(n+1)(n+2)}{8z^2} + O\left(\frac{1}{z^3}\right)\right); \quad z \gg 1,$$

используя которое, найдем

$$\xi_n^{(1)}(S) = \frac{h_n}{D_n(S)} \left(S + 2(n+2)(2n+1) \frac{v}{a^2}\right) + o(v);$$

$$U_{rn}^{(1)}(r, S) = -\left(1 + 2n(n+2) \frac{v}{a^2 S}\right) \left(\frac{a}{r}\right)^{n+2} \frac{\omega_n^2 h_n}{D_n(S)} + 2n(n+2) \frac{v}{a^2 S} \frac{\omega_n^2 h_n}{D_n(S)} \frac{a}{r} \frac{k_n(\eta r)}{k_n(\eta a)} + o(v);$$

$$p_n^{(1)}(r, S) = -\frac{\rho a S}{n+1} \left(1 + 2n(n+2) \frac{v}{a^2 S}\right) \frac{\omega_n^2 h_n}{D_n(S)} \left(\frac{a}{r}\right)^{n+1} + o(v);$$

$$D_n(S) = S^2 + \omega_n^2 + 2(n+2)(2n+1) \frac{Sv}{a^2} + o(v).$$

При малой вязкости дисперсионное уравнение  $D_n(S) = 0$  будет иметь два корня  $S_n^{(1)} = -v\delta_n + i\omega_n$  и

$S_n^{(2)} = -v\delta_n - i\omega_n$ , где  $\delta_n = (n+2)(2n+1)/a^2$ . Функции же  $\xi_n^{(1)}(t)$ ,  $U_{rn}^{(1)}(r, t)$  и  $p_n^{(1)}(r, t)$  примут простой вид

$$\xi_n^{(1)}(t) = h_n \left(\cos(\omega_n t) + \frac{v\delta_n}{\omega_n} \sin(\omega_n t)\right) \exp(-v\delta_n t);$$

$$U_{rn}^{(1)}(r, t) = -h_n \left(\frac{a}{r}\right)^{n+2} \left(\omega_n \sin(\omega_n t) - 2n(n+2) \frac{v}{a^2} \cos(\omega_n t)\right)$$

$$\times \exp(-v\delta_n t) - 2n(n+2) \frac{v h_n}{r^2} \cos\left(\frac{(a-r)\sqrt{\omega_n}}{\sqrt{2}\sqrt{v}} + \omega_n t\right)$$

$$\times \exp\left(-v\delta_n t + \frac{(a-r)\sqrt{\omega_n}}{\sqrt{2}\sqrt{v}}\right);$$

$$p_n^{(1)}(r, t) = -\frac{\rho a \omega_n^2 h_n}{n+1} \left(\frac{a}{r}\right)^{n+1} \left(\cos(\omega_n t) - (n+2) \times \frac{v}{a^2 \omega_n} \sin(\omega_n t)\right) \exp(-v\delta_n t). \quad (33)$$

Используя (33), несложно получить предельный переход к идеальной жидкости:

$$\xi_n^{(1)}(t) = h_n \cdot \cos(\omega_n t);$$

$$U_{rn}^{(1)}(r, t) = -h_n \cdot \left(\frac{a}{r}\right)^{n+2} \cdot \omega_n \cdot \sin(\omega_n t);$$

$$p_n^{(1)}(r, t) = -\frac{\rho a \omega_n^2 h_n}{n+1} \cdot \left(\frac{a}{r}\right)^{n+1} \cdot \cos(\omega_n t).$$

5. Рассмотрим случай сильно вязкой жидкости. Если вязкость жидкости весьма велика, то аргумент сферической модифицированной функции Бесселя будет малым и можно использовать асимптотическое разложение

$$\frac{k_{n-1}(z)}{k_n(z)} = \frac{z}{2n-1} - \frac{z^3}{(2n-1)^2(2n-3)} + o(z^3), \quad z \rightarrow 0. \quad (34)$$

С учетом (34), выражения (32) можно записать в виде

$$\xi_n^{(1)}(S) = \frac{h_n}{D_n(S)} \left(\frac{2(n+2)(2n^2+1)}{2n+1} \frac{v}{a^2} + \frac{3(2n(2n(n+1)+1)-1)}{(2n+1)^2(2n-3)} S + O\left(\frac{1}{v}\right)\right);$$

$$U_{rn}^{(1)}(r, S) = -\frac{\omega_n^2 h_n}{(2n+1)D_n(S)} \left[\left(2n(n+2)(2n-1) \frac{v}{a^2 S} + \frac{8n^3 - 2n - 3}{(2n+1)(2n-3)}\right) \left(\frac{a}{r}\right)^{n+2} - 2n(n+2) \frac{a}{r} \times \left((2n-1) \frac{v}{a^2 S} + \frac{2}{(2n+1)(2n-3)} \frac{k_n(\eta r)}{k_n(\eta a)}\right) + O\left(\frac{1}{v}\right)\right];$$

$$p_n^{(1)}(r, S) = -\frac{\rho a \omega_n^2 h_n}{(n+1)(2n+1)D_n(S)} \left(2n(n+2)(2n-1) \frac{v}{a^2} + \frac{(8n^3 - 2n - 3)}{(2n+1)(2n-3)} S + O\left(\frac{1}{v}\right)\right) \left(\frac{a}{r}\right)^{n+1};$$

$$D_n(S) = \frac{2(n+2)(2n^2+1)}{2n+1} \frac{Sv}{a^2} + \frac{3(2n(2n(n+1)+1)-1)}{(2n+1)^2(2n-3)} S^2 + \omega_n^2 + O\left(\frac{1}{v}\right). \quad (35)$$

При большой вязкости в дисперсионном уравнении  $D_n(S) = 0$  можно пренебречь членом, пропорциональным  $S^2$ , и тогда оно будет иметь единственный корень  $S = -\xi_n \omega_n^2 a^2 / v$ , где  $\xi_n = (2n+1)/(2(n+2)(2n^2+1))$ . В итоге для функций  $\xi_n^{(1)}(t)$ ,  $U_{rn}^{(1)}(r, t)$ ,  $p_n^{(1)}(r, t)$  можно получить асимптотические выражения вида

$$\xi_n^{(1)}(t) = h_n \exp\left(-\frac{\xi_n \omega_n^2 a^2}{v} t\right);$$

$$U_{rn}^{(1)}(r, t) = \frac{v h_n}{(2n+1)a^2} \left[ \left( 2n(n+2)(2n-1) - \frac{8n^3 - 2n - 3}{2(n+2)(2n-3)(2n^2+1)} \frac{\omega_n^2 a^4}{v^2} \right) \left(\frac{a}{r}\right)^{n+2} - 2n \frac{a}{r} \left( (2n-1)(n+2) - \frac{1}{(2n-3)(2n^2+1)} \frac{\omega_n^2 a^4}{v^2} \right) \times \operatorname{Re}\{\Gamma_n(r)\} \right] \exp\left(-\frac{\xi_n \omega_n^2 a^2}{v} t\right);$$

$$\Gamma_n(r) \equiv \frac{k_n(i r \omega_n a v^{-1} \sqrt{\xi_n})}{k_n(i \omega_n a^2 v^{-1} \sqrt{\xi_n})};$$

$$p_n^{(1)}(r, t) = -\frac{n(2n-1)a\rho\omega_n^2 h_n}{(n+1)(2n^2+1)} \left(\frac{a}{r}\right)^{n+1} \exp\left(-\frac{\xi_n \omega_n^2 a^2}{v} t\right). \quad (36)$$

6. Для удобства численного анализа выполним безразмеривание, принимая  $\sigma = 1$ ,  $\rho = 1$ ,  $r_0 = 1$ . Тогда все физические величины задачи будут выражаться в своих характерных масштабах. Так масштабами длины, плотности, вязкости, времени, частоты, скорости и давления будут соответственно величины

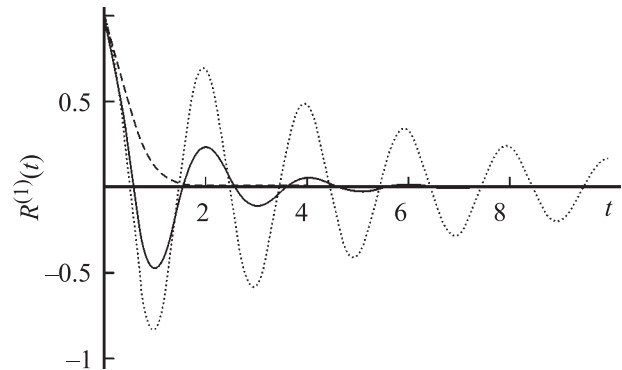
$$r_0; \quad \rho; \quad \sqrt{\frac{\sigma r_0}{\rho}}; \quad \sqrt{\frac{\rho r_0^3}{\sigma}}; \quad \sqrt{\frac{\sigma}{\rho r_0^3}}; \quad \sqrt{\frac{\sigma}{\rho r_0}}; \quad \frac{\sigma}{r_0}.$$

В соответствии с данными экспериментов радиус устойчивых пузырьков в жидкости изменяется в пределах от  $r_0 = 10^{-7}$  до  $r_0 = 10^{-3}$  см. Поверхностное натяжение и плотность жидкостей в среднем составляют  $\sigma = 50$  dyne/cm и  $\rho = 1$  g/cm<sup>3</sup>. При данных значениях характерный масштаб вязкости составит  $2 \cdot 10^{-3}$  см<sup>2</sup>/с– $2 \cdot 10^{-1}$  см<sup>2</sup>/с, масштаб времени —  $5 \cdot 10^{-12}$  с– $5 \cdot 10^{-6}$  с, масштаб частоты —  $2 \cdot 10^5$  с<sup>-1</sup>– $2 \cdot 10^{11}$  с<sup>-1</sup>, масштаб скорости —  $2 \cdot 10^2$  см/с– $2 \cdot 10^4$  см/с, масштаб давления —  $5 \cdot 10^4$  dyne/cm– $5 \cdot 10^8$  dyne/cm.

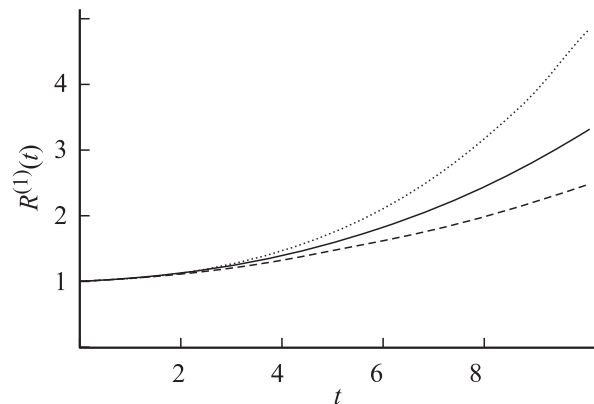
Свободными параметрами задачи будут  $p^{(0)} - p_V$ ,  $p_g^{(0)}$ ,  $W = Q^2/(4\pi\epsilon_d)$ ,  $\gamma$ ,  $v$ ,  $\epsilon$ ,  $\Omega$ ,  $h_n$ ,  $h_0$ . Равновесное значение радиуса пузырька  $r = a$  определяется из уравнения

$$p_V - p^{(0)} + p_g^{(0)}/a^{3\gamma} + W/(2a^4) - 2/a = 0. \quad (37)$$

При численном анализе радиальных движений поверхности пузырька выяснилось, что  $\omega_0^2 > 0$  для таких значений физических параметров  $p^{(0)} - p_V$ ,  $p_g^{(0)}$ ,  $W$ , при которых уравнение (37) имеет одно решение  $a$ , а в ситуации дисперсионное уравнение имеет два корня  $\omega_0^2 > 0$  для меньшего из корней. Для большего из корней всегда  $\omega_0^2 < 0$ . Следовательно, радиальные движения пузырька будут устойчивыми в той области параметров задачи, в которой уравнение (37) будет иметь одно решение и для меньшего из корней (37), когда имеются два решения. Пузырек, находящийся в равновесном состоянии, отвечающем большему корню уравнения (37), когда оно имеет два корня, неустойчив (см. выражения (13)). Увеличение вязкости жидкости, окружающей пузырек, приводит к увеличению декремента затухания для случая устойчивого равновесия пузырька и к уменьшению



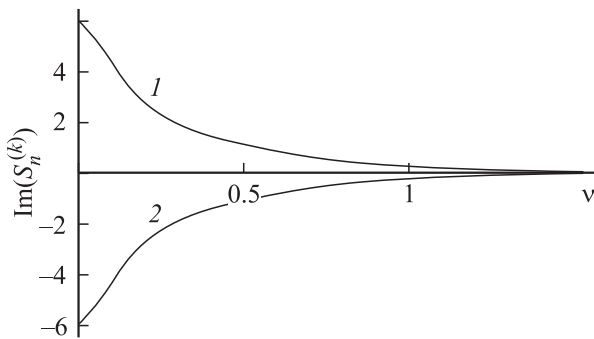
**Рис. 2.** Зависимость безразмерного радиуса  $R^{(1)}(t)$  пульсирующего пузырька от безразмерного времени  $t$ , рассчитанная по (13), для различных значений вязкости жидкости:  $v = 0.05$  (точечная кривая),  $v = 0.2$  (сплошная кривая),  $v = 0.8$  (пунктирная кривая), при  $p^{(0)} - p_V = -0.6$ ,  $p_g^{(0)} = 0.6$ ,  $W = 0.1$ ,  $\gamma = 4/3$ ,  $h_0 = 1$ . Значение  $a$  соответствует меньшему корню уравнения (37).



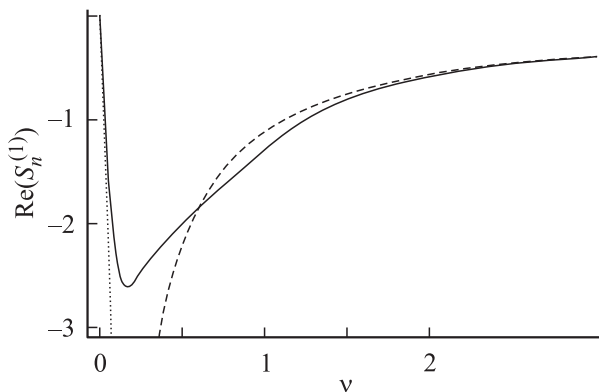
**Рис. 3.** Зависимость безразмерного радиуса  $R^{(1)}(t)$  пульсирующего пузырька от безразмерного времени  $t$ , рассчитанная по (13), для различных значений вязкостей жидкости:  $v = 0.05$  (точечная кривая),  $v = 0.5$  (сплошная кривая),  $v = 1$  (пунктирная кривая) при  $p^{(0)} - p_V = -0.6$ ,  $p_g^{(0)} = 0.6$ ,  $W = 0.1$ ,  $\gamma = 4/3$ ,  $h_0 = 1$ . Значение  $a$  соответствует большему корню уравнения (37).

инкремента неустойчивости в случае неустойчивого равновесия пузырька (рис. 2, 3).

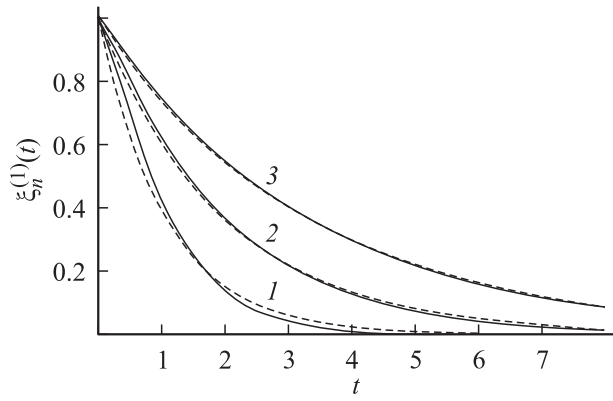
При численном анализе точного дисперсионного соотношения  $D_n(S) = 0$ , описывающего поверхностные осцилляции пузырька при неизменном объеме, выяснилось, что при  $W/a^3 < n + 2$  оно имеет два комплексно сопряженных корня  $S_n^{(1)}$  и  $S_n^{(2)}$  с отрицательной вещественной частью, мнимая часть  $\text{Im}(S_n^{(2)}) = -\text{Im}(S_n^{(1)})$  которых определяет частоту колебаний поверхности пузырька, а вещественная  $\text{Re}(S_n^{(1)}) = \text{Re}(S_n^{(2)})$  — декремент затухания. Отметим, что увеличение вязкости жидкости, окружающей пузырек, приводит к уменьшению мнимой части корней  $S_n^{(1)}$ ,  $S_n^{(2)}$ , но не приводит к полному их исчезновению (рис. 4). Влияние вязкости жидкости на действительную часть данных корней является сложным (рис. 5). При  $W/a^3 > n + 2$  дисперсионное уравнение



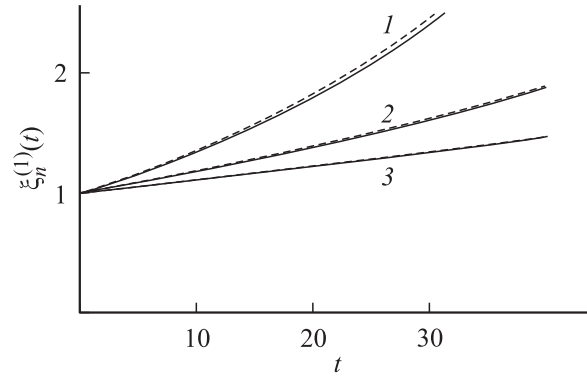
**Рис. 4.** Зависимости мнимых частей  $\text{Im}(S_n^{(k)})$  точного комплексного корня  $S_n^{(k)}$  дисперсионного уравнения  $D_n(S_n^{(k)}) = 0$ , описывающего поверхностные осцилляции пузырька при постоянном его объеме, от безразмерной вязкости жидкости  $\nu$ , рассчитанные для  $p^{(0)} - p_V = 0.1$ ,  $p_g^{(0)} = 0.6$ ,  $W = 0.1$ ,  $\gamma = 4/3$ ,  $n = 2$ . Номер у кривой совпадает с номером  $k$ .



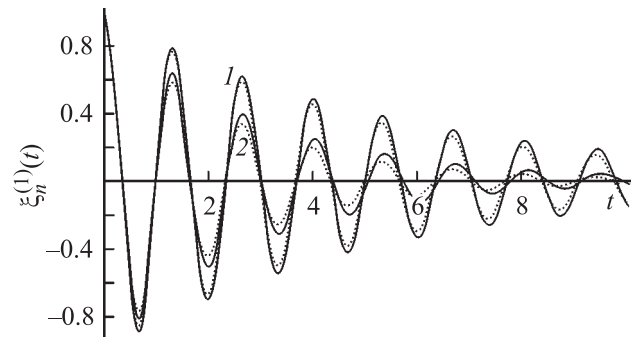
**Рис. 5.** Зависимость вещественной части  $\text{Re}(S_n^{(1)})$  комплексного корня  $S_n^{(1)}$  дисперсионного уравнения поверхностных осцилляций пузырька  $D_n(S_n^{(1)}) = 0$  от безразмерной вязкости жидкости  $\nu$ , рассчитанная при  $p^{(0)} - p_V = 0.1$ ,  $p_g^{(0)} = 0.6$ ,  $W = 0.1$ ,  $\gamma = 4/3$ ,  $n = 2$ . Точечная кривая соответствует приближению маловязкой жидкости, сплошная — точному решению, пунктирная — приближению сильновязкой жидкости.



**Рис. 6.** Зависимости коэффициента  $\xi_n^{(1)}(t)$ , характеризующего искажение равновесной сферической формы пузырька, от безразмерного времени  $t$ , построенные при:  $p^{(0)} - p_V = 0.6$ ,  $p_g^{(0)} = 0.6$ ,  $W = 0.5$ ,  $\gamma = 4/3$ ,  $n = 2$ ,  $h_2 = 1$  и различных вязкостях жидкости  $\nu = 0.8$  (кривая 1),  $\nu = 1.5$  (кривая 2),  $\nu = 2.5$  (кривая 3). Сплошная кривая соответствует точному решению (32), пунктирная — приближению сильно вязкой жидкости (36).



**Рис. 7.** Зависимости коэффициента  $\xi_n^{(1)}(t)$  от безразмерного времени  $t$ , построенные при:  $p^{(0)} - p_V = 0.8$ ,  $p_g^{(0)} = 0.6$ ,  $W = 3.5$ ,  $\gamma = 4/3$ ,  $n = 2$ ,  $h_2 = 1$  и различных вязкостях жидкости  $\nu = 0.8$  (кривая 1),  $\nu = 1.5$  (кривая 2),  $\nu = 2.5$  (кривая 3). Сплошная кривая соответствует точному решению (32), пунктирная — приближению сильно вязкой жидкости (36).



**Рис. 8.** Зависимости коэффициента  $\xi_n^{(1)}(t)$  от безразмерного времени  $t$ , построенные при:  $p^{(0)} - p_V = 0.6$ ,  $p_g^{(0)} = 0.6$ ,  $W = 0.5$ ,  $\gamma = 4/3$ ,  $n = 2$ ,  $h_2 = 1$  и различных вязкостях жидкости  $\nu = 0.005$  (кривая 1),  $\nu = 0.01$  (кривая 2). Сплошная кривая соответствует точному решению (32), точечная — приближению маловязкой жидкости (33).



$D_n(S) = 0$  имеет один корень, который является вещественным и положительным, определяя инкремент неустойчивости поверхности пузырька.

Численные расчеты по выражению (32) хорошо согласуются с численными расчетами по асимптотическим выражениям (33) и (36), полученными в асимптотиках малой и большой вязкости, как это видно из рис. 6–8.

## 7. Заключение

Найденное решение задачи о расчете временной эволюции деформированного в начальный момент времени заряженного пузырька в диэлектрической жидкости в первом порядке малости по амплитуде начальной деформации делает актуальным поиск решений более высоких порядков малости, т.е. решения до сих пор не решенной задачи о расчете нелинейных осцилляций заряженного пузырька в вязкой диэлектрической жидкости. С ростом вязкости жидкости частоты радиальных пульсаций и поверхностных осцилляций монотонно снижаются. Декремент затухания радиальных пульсаций с ростом вязкости при любых ее значениях монотонно увеличивается по тому же закону, что и декремент затухания поверхностных осцилляций в асимптотике малой вязкости. Декремент затухания поверхностных осцилляций при увеличении вязкости сначала растет, но, достигнув некоего максимального значения, начинает снижаться (т.е. проявляются те же тенденции, что у вязкой капли [17] или волн в вязкой жидкости [19]).

Работа выполнена при поддержке гранта президента РФ № МК-2946-2004-1 и гранта РФФИ № 03-01-00760.

## Список литературы

- [1] Жаров А.Н., Ширяева С.О. // ЭОМ. 1999. № 6. С. 9–22.
- [2] Aitken F., McGluskey F.M., Denat A. // J. Fluid Mech. 1996. Vol. 327. P. 373–392.
- [3] Григорьев А.И., Жаров А.Н. // ЖТФ. 2000. Т. 70. Вып. 4. С. 8–13.
- [4] Głinski M.E. // Physics of Fluids. 2001. Vol. 13. N 1. P. 20–31.
- [5] Жаров А.Н., Григорьев А.И. // ЖТФ. 2001. Т. 71. Вып. 11. С. 12–20.
- [6] Васильев А.П. // ЖТФ. 2003. Т. 73. Вып. 1. С. 35–41.
- [7] Bekshaev A.Ya., Kontush S.M., Rybak S.S. et al. // J. Aerosol Sci. 2003. Vol. 34. P. 469–484.
- [8] Жаров А.Н., Григорьев А.И. // ЖТФ. 2004. Т. 74. Вып. 11. С. 13–21.
- [9] Максимов А.О. // Письма в ЖТФ. 2005. Т. 31. Вып. 7. С. 7–13.
- [10] Benjamin T.B., Ellis A.T. // J. Fluid Mech. 1990. Vol. 212. P. 65–80.
- [11] Fjofwcs-Williams J.E., Guo Y.P. // J. Fluid Mech. 1991. Vol. 224. P. 507–529.
- [12] Longuet-Higgins M.S. // J. Fluid. Mech. 1991. Vol. 224. P. 531–549.
- [13] Mei Ch.C., Zhou X. // J. Fluid Mech. 1991. Vol. 229. P. 29–50.
- [14] Feng Z.C., Leal L.G. // Phys. Fluids. 1995. Vol. 7. N 6. P. 1325–1336.

- [15] Feng Z.C. // J. Fluid Mech. 1997. Vol. 333. P. 1–21.
- [16] Doiñikov A.A. // J. Fluid Mech. 2004. Vol. 501. P. 1–24.
- [17] Жаров А.Н., Григорьев А.И. // ЖТФ. 2005. Т. 75. Вып. 1. С. 22–31.
- [18] Жаров А.Н., Григорьев А.И., Ширяева С.О. // ЖТФ. 2005. Т. 75. Вып. 7. С. 19–28.
- [19] Левич В.Г. Физико-химическая гидродинамика. М.: Гос. изд. физ.-мат. лит., 1959. 699 с.